

ستنتر فلور آپاتیت به روش شیمیایی

پگاه حسن زاده، سحر سیفی، جعفر جوادپور، بیژن افتخاری یکتا

دانشگاه علم و صنعت ایران

Sahar.seyfi@gmail.com

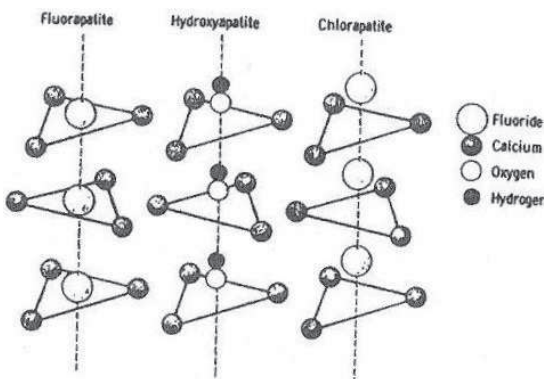
چکیده: در این پژوهش نانو ذرات فلور آپاتیت به روش رسوب از محلول (شیمیایی) با استفاده از مواد اولیه هیدروکسید کلسیم و ارتوفسفات دی آمونیوم و فلورید کلسیم تهیه شد. سپس نمونه در دمای ۱۰۰ درجه سانتی گراد به منظور حذف ناخالصی های فرار و افزایش بلورینگی کلسینیه شد. مشخصه یابی پودرهای حاصل به وسیله آزمون های پراش پرتو X (XRD)، میکروسکوپ الکترونی روشنی (SEM) و آزمون طیف سنجی مادون قرمز (FTIR) صورت پذیرفت. موفرولورزی پودر فلور آپاتیت سنتز شده به روش شیمیایی کروی و اندازه ذرات آن در حد نانو بود. پس از کلسینیه کردن پودر فلور آپاتیت سنتز شده در دمای ۱۰۰°C به مدت ۳ ساعت، فقط فاز بلورین فلور آپاتیت تک فاز متبلور شد. مانند آنچه متابع گزارش کرداند با کلسینیه کردن پودر فلور آپاتیت در دمای ۱۰۰°C به مدت ۳ ساعت، میزان جایگزینی فلور آپاتیت در ساختار افزایش می یابد. مقایسه موفرولورزی پودر فلور آپاتیت کلسینیه شده در این پژوهش با پودری که از روش هیدرоторمال با مواد اولیه یکسان به دست آمده است، حاکی از ریزتر بودن و تا حدودی خوشای بودن ذرات به دست آمده از روش هیدرоторمال نسبت به ذرات کروی روش شیمیایی می باشد.

۱- مقدمه

به طور کلی تصور علم پزشکی بدون امکان بازسازی قسمت های آسیب دیده بدن انسان، بسیار مشکل است. ماده زیستی یک ماده مصنوعی است که برای جایگزین سازی یا تعویض بخشی از بدن انسان یا موجود زنده یا به منظور کار کردن در تماس نزدیک با بافت زنده استفاده می شود. یک ماده بیولوژیکی، ماده ای مانند زمینه استخوان یا مینای دندان است که بدن انسان یا هر موجود زنده آن را ایجاد می کند. موارد استفاده مواد زیستی در جایگزین سازی و تعویض اندام و اعضاهایی از بدن است که بر اثر بیماری یا آسیب، کاربری خود را از دست داده اند تا از این طریق جراحت یا بیماری اعضا مذکور التیام پذیرند، کاربری یا عمل آنها اصلاح شود و ناهنجاری یا وضعیت غیر طبیعی آنها تصحیح شود [۱]. سرامیک زیستی، یک ماده زیستی سرامیکی است. به این معنا که ماده ای سرامیکی، جایگزین بافت یا اعضای بدن می شود. پیشرفت در سرامیک های زیستی خاصی مانند آلومینیا، زیرکونیا، هیدروکسی آپاتیت، تری کلسیم فسفات و شیشه های زیست فعال، باعث ایجاد توسعه ای شگفت انگیز در حفظ سلامتی و افزایش کیفیت زندگی بشر شده است. این سرامیک های زیستی می توانند در بدن استفاده شده و جایگزین قسمت های آسیب دیده و بیمار سیستم اسکلتی شوند [۲]. هنگام استفاده این سرامیک های زیستی در بدن، هیچ گونه ماده سمی آزاد نمی شود. پاسخ بدن به این گونه مواد، تشكیل غشای فیبری نازک در اطراف کاشتی است. ضخامت این لایه متغیر است و به عوامل متعددی از جمله مشخصات کاشتی و بافت میزان، نوع حرکت در فصل مشترک بستگی دارد [۳،۱]. در این میان هیدروکسی آپاتیت با فرمول شیمیایی $(\text{Ca}_{10}(\text{PO}_4)_6(\text{OH})_2)$ ، ترکیب معدنی شناخته شده ای برای استخوان ها و دندان ها است و در واقع جایگزین اصلی بخش معدنی استخوان انسان در درمان عیوب محسوب می شود. این ماده دارای ترکیب شیمیایی مشابه بافت سخت بدن است و از فعالیت زیستی و زیست سازگاری عالی برخوردار است. اگرچه این ماده به دلیل چرمگی و استحکام شکست کم در کاشتی های تحت بار کمتر کاربرد دارد و می توان از آن نیز به عنوان پوشش بر روی ایمپلنت های فلزی استفاده کرد [۱]. هیدروکسی آپاتیت دارای ساختاری است که امکان جایگزینی عناصر دیگری نیز در آن وجود دارد. جایگزینی



در ساختار آپاتیت برای گروههای Ca و OH باعث تغییرات در خواص آن، از جمله پارامتر شبکه، مورفولوژی و حلالیت می‌شود. اگر چه Elliott و Young [4] نشان دادند که جایگزینی Cl باعث کاهش تقارن هگزاگونال شده و به دلیل موقعیت‌های متناوب اتم Cl در ساختار و بزرگ شدن سلول واحد در جهت a تقارن مونوکلینیک ایجاد می‌شود. جایگزینی F برای OH معمولاً باعث انقباض در محور a و افزایش بلورینگی و یا کاهش کرنش شده و پایداری بیشتری را در ساختار ایجاد می‌کند(شکل ۱). جایگزینی‌های مختلف باعث تغییرات ابعادی محور a در مقابل c برای می‌شود. پایداری بیشتر نیز به دلیل مشاهده‌هایی مبنی بر حلالیت کمتر آپاتیت با جایگزینی F نسبت به آپاتیت بیولوژیکی و یا سنتزی بدون F است[۱].



شکل ۱- مقایسه موقعیت اتم‌های OH , F و Cl در مرکز مثلث Ca در ساختار HA [۱]

بلورینگی یکی از مواردی است که بر روی جذب یون تاثیر دارد. هر چه بلورینگی بیشتر باشد امکان جذب یون‌های دیگر به صورت جانشینی در ساختار کاهش می‌یابد. مثلاً در استخوان که میزان بلورینگی کم است، امکان جذب افزایش می‌یابد و یون‌های فلزات سنگین که کمی سمی هستند می‌توانند توسط استخوان جذب شوند و در واقع استخوان می‌تواند به عنوان یک سیستم غیررسمی عمل کند[۱]. فلورور آپاتیت یک ماده معدنی با فرمول $\text{Ca}_5(\text{PO}_4)_3\text{F}$ می‌باشد. فلورور آپاتیت یک جامد بلورین سخت است. اگرچه نمونه‌های آن می‌توانند رنگ‌های مختلفی داشته باشند (سبز، قهوه‌ای، آبی، بنفش یا بی‌رنگ)، ماده معدنی خالص آن همان طور که برای ماده بدون فلزات انتقالی انتظار می‌رود، بی‌رنگ است. فلورور آپاتیت جزء اصلی مینای دندان می‌باشد[۵]. این کانی دارای سختی ۵ در مقیاس موس بوده و بوسیله چاقو خط بر می‌دارد. وزن مخصوص آن $۳/۱۵$ تا $۳/۲۰$ گرم بر سانتیمتر مکعب و دارای جلا شیشه‌ای و نیمه صمعی است[۶].

فلورور آپاتیت بیشترین تقارن را در میان کانی‌های آپاتیت دارد [گروه فضایی (۱۷۵) $m63/m$ با ثابت شبکه $A = ۹/۳۶۸$, $a = ۶/۸۸۴۱$, $c = ۶/۸۸۴۱$]. اثر ضد پوسیدگی فلوراید به این علت است که می‌تواند هیدروکسی آپاتیت کربناتی در مینای دندان را به فلورور آپاتیت یا فلورور هیدروکسی آپاتیت به صورت ترمودینامیکی پایدارتر تبدیل کند. در حین فرایند پوسیدگی فلوراید آزاد می‌شود که دینامیک دوباره مینرالیزه شدن یا دی مینرالیزه شدن را تغییر می‌دهد[۷].

فلوراید الکترو نگاتیو ترین عنصر است و دارای شعاع یونی کوچک با دانسیته بار بالا است که توانایی تشکیل باند یونی و هیدروژنی قوی را دارد، که باعث می‌شود یون فلوراید پتانسیل تقابل هم با فازهای مینرالی و هم با ماکرومولکول‌های آلی را داشته باشد و به دلیل این خواص، به خصوص اندازه کوچک آن، می‌تواند به عنوان "تشکیل دهنده ساختار" در آب عمل کند. این امر تحرک مولکول‌های آب در محلول و لایه‌های هیدراسیون پروتئین‌ها و سطوح آپاتیت را کاهش می‌دهد[۷].

هر سلول واحد شامل یک فرمول واحد $\text{Ca}_{10}(\text{PO}_4)_6\text{F}_2$ می‌باشد. اگر یون‌های فسفات کروی در نظر گرفته شوند، سپس ساختار FAp می‌تواند به عنوان هگزاگونال close-pack از یون‌های فسفات با کانال‌هایی از





حفرات هشت وجهی داخل ساختار موازی با محور c هگزاگونال، (کانال‌های X)، توضیح داده شود. HAp طبیعی ساختار هگزاگونال همانند FAp دارد.^[۸]

فلوئورآپاتیت در بلورهای هیدروکسی آپاتیت مستقیماً در ستون‌های هیدروکسیل جایگزین می‌شود یا جای خالی هیدروکسیل را اشغال می‌کند که موجب کاهش در پارامترهای شبکه a و c در کریستال به همراه کاهش در انرژی بلور می‌شود. این یک ساختار خیلی پایدار به وجود می‌آورد و حلالیت اسیدی بلورها به طور چشمگیری کاهش می‌یابد و به بلورها یک خاصیت ضد فاسد شدن می‌دهد.^[۷,۹]

فلوراید F⁻ جایگزین گروه OH⁻ در HAp می‌شود و به میزان زیادی خواص فیزیکی، شیمیایی و زیستی آن را بهبود می‌بخشد. همچنین فلوراید به کریستالیزاسیون HAp آمورف کمک می‌کند و فلورورآپاتیت (FHAp) در محیط زیستی مقاومت به خوردگی بیشتری دارد.^[۱۰,۱۱]

۲- فعالیت‌های آزمایشگاهی

۲-۱- سنتز فلورورآپاتیت

برای تهیه فلورورآپاتیت از هیدروکسید کلسیم Ca(OH)₂ با خلوص ۹۶٪ برای تامین کلسیم، از ارتوفسفات دی آمونیوم (NH₄)₂HPO₄ با خلوص ۹۹٪ به عنوان منبع فسفاتی و از فلورورید سدیم NaF با خلوص ۵/۹۸٪ برای تامین فلورور لازم استفاده شد. فلورورآپاتیت با این مواد اولیه طبق فرمول (۱) بدست می‌آید:

$$\text{Ca}_{10}(\text{PO}_4)_6\text{F}_2 + 6\text{H}_2\text{O} + 2\text{NaF} \rightarrow \text{Ca}_{10}(\text{PO}_4)_6\text{F}_2 + 2\text{NaOH} + 12\text{NH}_4\text{OH} \quad (1)$$

توجه به این فرمول استوکیومتری، نسبت یونی Ca/F = ۱/۶۷ و Ca/P = ۵/۶۷ در نظر گرفته شد. با توجه به در نظر گرفتن [Ca⁺²] = ۰/۹ mol/lit، [P⁺⁵] = ۰/۵۴ mol/lit و [F⁻] = ۰/۱۸ mol/lit محاسبه شد. برای بدست آوردن مقدار لازم از پودر فلورور آپاتیت، ۳ محلول با حجم ۱۲۰ سی‌سی در نظر گرفته شد که با توجه به آن مقادیر مولی و سپس گرمی هر کدام محاسبه شد و سپس مقادیر نهایی هر ماده با توجه به خلوص آن بدست آمد. بعد از انجام محاسبات، Ca(OH)₂ ۸/۳۳ گرم، (NH₄)₂HPO₄ ۸/۶۵ گرم و NaF ۹۲/۰ گرم هر کدام در بشر جدا وزن شد. حجم هر کدام با آب مقطر به ۱۲۰ سی‌سی رسانده شد. محلول Ca(OH)₂ روی همزن مغناطیسی به مدت ۲۰ دقیقه با سرعت ۴۰۰۰ rpm هم زده شد و محلول شیری رنگی ایجاد شد. pH حدود ۱۴-۱۳ بود. محلول (NH₄)₂HPO₄ روی همزن مغناطیسی به مدت ۲۰ دقیقه با سرعت ۴۰۰۰ rpm هم زده شد و محلول شفافی با pH حدود ۴ ایجاد شد. محلول NaF روی همزن مغناطیسی به مدت ۲۰ دقیقه با سرعت ۴۰۰۰ rpm هم خورد و محلول شفافی با pH حدود ۷ ایجاد شد. محلول NaF به محلول ارتو فسفات دی آمونیوم اضافه شد و سپس مخلوط NaF و (NH₄)₂HPO₄ به صورت قطره‌ای با سرعت مناسب به محلول Ca(OH)₂ در حال هم خوردن اضافه شد. پس از مدتی pH از ۱۴ شروع به پایین آمدن کرد. با افزودن حدود ۱۰ میلی لیتر آمونیاک (Amonia Solution 25%, Extrapure) pH حدود ۹ ثابت شد. این فرایند تا تمام شدن محلول اولیه ادامه پیدا کرد، در ضمن تمام واکنش‌ها در دما و فشار محیط انجام گرفت. محلول حاصل حدود ۱۸ ساعت به همراه هم خوردن و حدود ۶ ساعت به صورت ساکن پیر سازی شد. سپس رسوب توسط قیف و کاغذ صافی مناسب جدا شد و با آب مقطر یک بار شستشو داده شد. رسوب حاصل در خشک کن به مدت ۳۶ ساعت در دمای ۸۰ درجه سانتی گراد خشک گردید.

۲-۲- کلسیناسیون فلورور آپاتیت

به منظور حذف ناخالصی‌های فرار و افزایش بلورینگی، مقداری از پودر فلورور آپاتیت حاصل با سرعت ۱۰ درجه بر دقیقه به مدت ۳ ساعت در دمای ۸۰۰ درجه سانتی گراد در کوره‌ی الکتریکی در اتمسفر معمولی کلسینه شد. نمونه مورد نظر برای یک ساعت در دمای ثابت نگه داشته شد.



۲-۳-روش‌های تعیین ویژگی‌ها و خواص

به منظور تعیین فازهای ایجاد شده و تایید حضور فازهای مطلوب در ترکیب، آنالیز پراش پرتو X برای همه نمونه‌ها انجام شد. برای این منظور از تشعشع Cu-K α دستگاه XRD (JEOL, GDX-803) در ولتاژ ۳۰ V، شدت جریان ۲۰ mA و طول موج ۱۵۴ nm استفاده شد. بنیان‌های موجود در محصول با استفاده از تکنیک طیف سنجی مادون قرمز (FTIR, Thermo Nicolet) در محدوده ۴۰۰۰–۴۰۰ cm $^{-1}$ مطالعه شد. ریزساختار و مورفولوژی ذرات پودر به کمک میکروسکوپ الکترونی روشنی (SEM) مدل LEO 1455VP بررسی شد. تعیین اندازه بلور به روش شرمن انجام شد. شرمن کرنش شبکه در پهن شدن پیک را در نظر نگرفت و تمام پهن شدن ذاتی را مربوط به ریز شدن بلورها فرض کرد و رابطه (۱) را پیشنهاد داد [۱۲]:

$$t = 0.89 \lambda / B \cos\theta \quad (1)$$

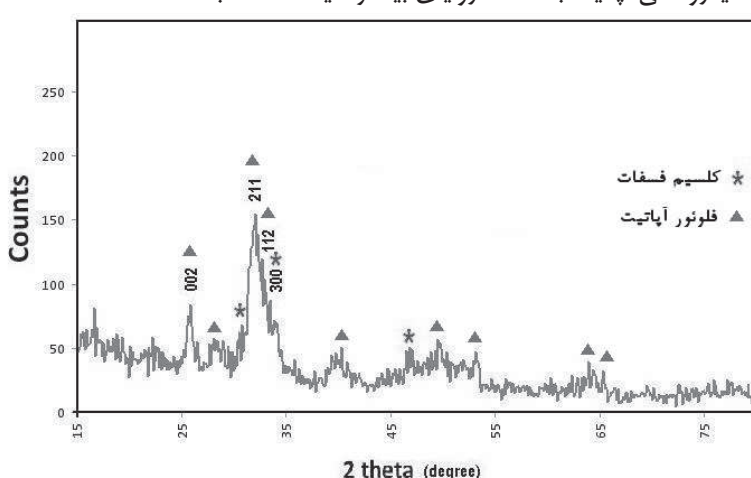
در این رابطه t اندازه دانه، λ طول موج مورد استفاده (برای تیوب مس برابر با ۰/۱۵۴ nm)، B عرض پیک انتخاب شده در نصف ارتفاع بر حسب رادیان و θ زاویه پیک بر حسب درجه است. در روش شرمن برای محاسبه B از پیک (۰۰۲) استفاده شد انتخاب این پیک به علت موقعیت منفرد آن در الگوی پراش بود [۲].

۳-نتایج و بحث

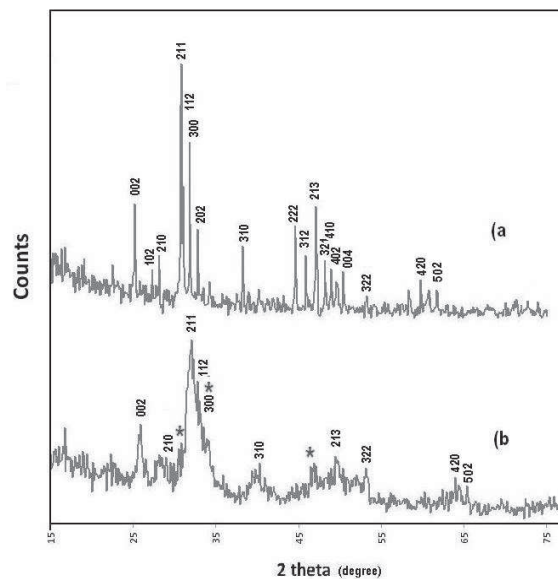
۳-۱-آنالیز فازی

شکل (۲) الگوی پراش اشعه X فلورور آپاتیت سنتز شده در دمای اتاق را نشان می‌دهد. در این الگو علاوه بر این فاز، فاز کلسیم فسفات نیز دیده شد. در این الگو پهن بودن پیک‌ها می‌تواند ناشی از درجه بلورینگی کم ساختار و ریز بودن کریستال‌ها باشد در شکل (۳) که الگوی پراش اشعه ایکس فلورور آپاتیت سنتز شده و کلسینه شده است. اگرچه تمام پیک‌های دو الگوی XRD مربوط به FAp است هر پیک تیز تر شده و شدت آن با انجام عملیات حرارتی افزایش قابل ملاحظه‌ای یافته است. این بدان معنی است که بلورهای FAp با عملیات حرارتی رشد کرده‌اند. افزایش شدت پیک در نمونه کلسینه شده حاکی از افزایش میزان فاز فلورور آپاتیت می‌باشد.

مقایسه الگوی پراش پرتو X فلورور آپاتیت و هیدروکسی آپاتیت سنتز شده در دمای اتاق را نشان می‌دهد. از آنجا که شاعر یون فلوراید (۱/۳۲ A $^{\circ}$) از شاعر یون هیدروکسید (۱/۶۸ A $^{\circ}$) کمتر است [۱۴، ۱۳]، با جایگزین شدن OH⁻ توسط فلوراید فاصله صفحات بلوری کاهش و طبق رابطه‌ی برآگ (رابطه ۲) با ثابت بودن ۸ زاویه‌ی پراش افزایش می‌یابد، در نتیجه انتظار می‌رود الگوی پراش اشعه ایکس فلورور آپاتیت نسبت به الگوی پراش اشعه ایکس هیدروکسی آپاتیت به سمت زوایای بیشتر شیفت داشته باشد.



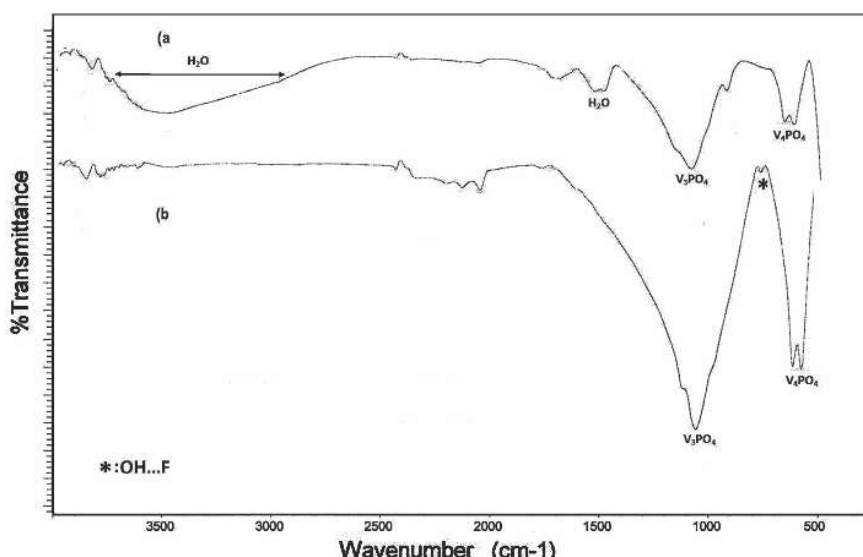
شکل ۲- الگوی پراش اشعه X فلورور آپاتیت سنتز شده در دمای اتاق



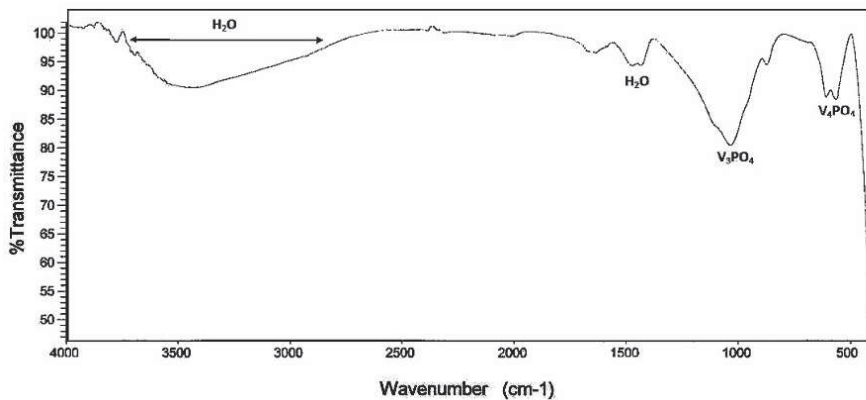
شکل ۳- الگوی پراش اشعه X (a) فلوئور آپاتیت کلسینه شده در دمای 800°C به مدت ۳ ساعت
(b) فلوئور آپاتیت سنتر شده در دمای اتاق 25°C

۳-۲-آنالیز طیف سنجی مادون قرمز (FTIR)

شكل (۵) FTIR فلور آپاتیت سنتز شده در دمای اتاق را نشان می‌دهد. باندهای مشخصه برای گروه PO_4^{3-} در $1033/22\text{cm}^{-1}$ (v3)، $567/97\text{cm}^{-1}$ (v4)، $607/73\text{cm}^{-1}$ (v4) دیده می‌شود. باند ضعیف در $1469/12\text{cm}^{-1}$ و $2008/10\text{cm}^{-1}$ مشخصه گروههای آلیندہ CO_3 که طی سنتز هنگام هم زدن وارد نمونه شده است، می‌باشد. باندهای مشخصه گروههای هیدروکسید در موقعیت‌های 3632cm^{-1} ، 474cm^{-1} و 1990cm^{-1} و 3570cm^{-1} مشاهده نشد که می‌تواند نشان دهنده جایگزینی OH^- با F^- باشد. از طرف دیگر باند پهن در $32/3424\text{cm}^{-1}$ (کششی) و باند $1631/60\text{cm}^{-1}$ (خمشی) مربوط به جنبش‌های H_2O است که به نظر می‌رسد آب شیمیایی جذبی است. باند $871/57\text{cm}^{-1}$ مربوط به گروه HPO_4^{2-} است. باندهای $3691/96\text{cm}^{-1}$ و $3777/69\text{cm}^{-1}$ مربوط به ارتعاشات کششی $\text{H}\dots\text{O}$ موجود در ساختار می‌باشد. این الگو تشکیل ساختار آپاتیت را به وضوح نشان می‌دهد و با آنچه در منابع گزارش شده است، مطابقت دارد [۸-۱۸].

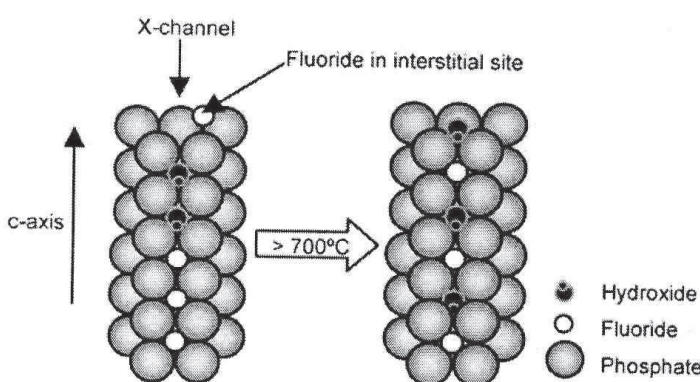


شکل ۴- طیف FTIR (a) فلور آپاتیت سنتز شده در دمای اتاق، (b) فلور آپاتیت کلسینه شده در دمای 800°C به مدت ۳ ساعت



شکل ۵- طیف FTIR (a) فلورآپاتیت سنتز شده در دمای اتاق

همان طور که در شکل (۴) مشاهده می‌شود، با کلسینه کردن پودر فلورآپاتیت در دمای 800°C به مدت ۳ ساعت، شدت باندهای PO_4^{3-} مشخصه‌ی ساختار آپاتیت اولیه نمونه‌ها با حرارت افزایش می‌یابد که می‌تواند نشانه‌ی تشکیل بیشتر ساختار در تأیید نتایج الگوهای پراش اشعه‌ی X این ماده باشد. حذف پیک پهنه آب و پیک $1469/12\text{cm}^{-1}$ در نمونه‌ی کلسینه شده نشانه‌ی ترک آب شیمیایی شبکه در این دما است. حضور باندهای $2007/0.3\text{cm}^{-1}$ و $2086/5.0\text{cm}^{-1}$ در نمونه‌ی کلسینه شده حاکی از بین نرفتن گروه‌های کربناتی با انجام عملیات حرارتی است. باندهای حدود 3700cm^{-1} حضور ارتعاشات کششی گروه‌های OH در هر دو نمونه را نشان می‌دهد این باندها نشانگر عدم جانشینی کامل OH^- با F^- است و به نظر می‌رسد ماده‌ی حاصل FHAपt می‌باشد. با توجه به تحقیقات انجام شده حتی با انتخاب میزان F به مقدار استوکیومتری، آنالیزهای انجام شده برای تعیین میزان F واقعی نمونه، نشان از عدم جانشینی کامل OH^- با F^- و تشکیل FHAپt دارد[۱۳]. به نظر می‌رسد با انجام کلسیناسیون در دمای 800°C باند مربوط به باند HPO_4^{2-} نیز از بین می‌رود. حضور باند 747cm^{-1} مربوط به پیوند $\text{OH} \dots \text{F}$ در نمونه‌ی کلسینه شده و عدم حضور آن در نمونه‌ی سنتز شده در دمای اتاق نشان از افزایش جایگزینی فلور در ساختار با انجام عملیات حرارتی دارد.



شکل ۶- مدل تغییرات موقعیت یون‌های هیدروکسید و فلوراید حین حرارت دادن در ساختار فلوروهویدروکسی آپاتیت[۸].

با توجه به شکل (۶) اگر یون‌های فلوراید در ساختار در دمای اتاق شرکت کنند، در شبکه در طول X-channels قرار می‌گیرند و بخشی از زنجیر یون‌های فلوراید را تشکیل می‌دهند و به طور تصادفی در میان یون‌های هیدروکسید پخش نمی‌شوند، سپس تنها تعداد کمی از یون‌های هیدروکسید، فلوراید را بر خلاف حضور زیاد یون‌های فلوراید، در نزدیکی خود خواهند داشت.[۸]

پیوند هیدروژنی فلوراید با یون هیدروکسید، تحرک یون هیدروکسید را برای نفوذ در X-channels کم





می‌کند. بنابراین به نظر می‌رسد که نفوذ یون فلوراید در دمای اتاق خیلی آسان نیست. به نظر می‌رسد حرارت دادن باعث دوباره سازماندهی یون‌های فلوراید در شبکه و در نتیجه قرارگیری تصادفی آن‌ها شود [۱۹]. Freund et al موقعیت ارتعاش OH را به صورت تابعی از میزان جایگزینی یون فلوراید در شبکه آپاتیت بررسی کرد. نتایج آنها امکان تشخیص ۶۰-۶٪ یون فلوراید از تغییر مکان در باند 631cm^{-1} و همچنین در باندهای اضافی در ناحیه $750-630\text{cm}^{-1}$ را بیان می‌کند. موقعیت‌های زیادی برای یون فلوراید و یون هیدروکسید امکان پذیر است و این مدل فرض کرده است که هر موقعیت به باند ارتعاشی متفاوتی مربوط است. وابسته به میزان جایگزینی فلوراید، ترتیب خاصی در ساختار غالب می‌شود [۲۰]. این مدل بیانگر چگونگی تبدیل باند حدود 630cm^{-1} به 747cm^{-1} با افزایش جایگزینی F^- می‌باشد. در حضور مقادیر زیاد فلوراید، به نظر می‌رسد میزان کم OH^- باقی مانده، در زنجیری از F^- پخش می‌شوند و ساختار FFF OH FFF را پدید می‌آورد که باعث ایجاد باند 747cm^{-1} می‌شود.

با توجه به توضیحات Baumer و همکارانش موقعیت، تعداد و جذب‌های نسبی باندهای کششی OH در ناحیه $800-600\text{cm}^{-1}$ می‌تواند برای برآورد مقدار یون فلوراید در نمونه به کار رود. میزان فلوراید می‌تواند از نسبت جذب دو باند محاسبه شود. همچنین استفاده از باندهای OH برای برآورد میزان فلوراید باید در نمونه‌های کلسینه شده انجام شود تا نتایج معنی داری حاصل گردد زیرا هیچ تغییری در موقعیت باند یا تعدد باندها در نمونه‌های غیر کلسینه دیده نمی‌شود [۲۱].

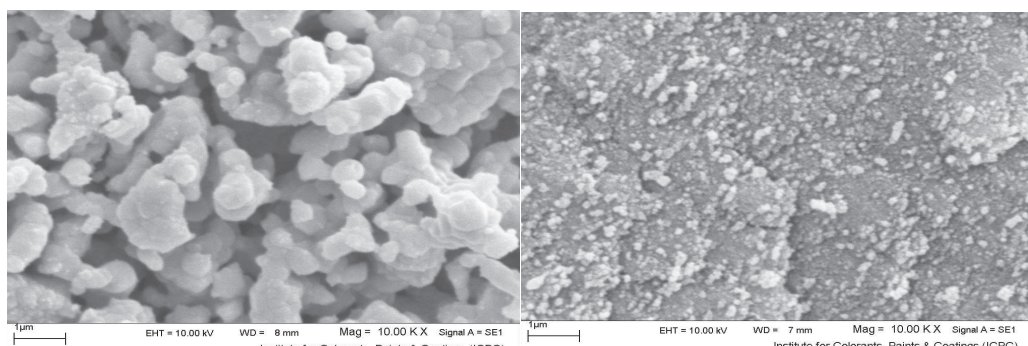
جدول ۱- برآورد میزان F از طیف FTIR در نمونه‌های F-HAp کلسینه شده [۲۱, ۲۰]

| Sample | HF/LF ^a abs | %F ^b OH _{stretch} | %F ^c OH _{libr} | %F ^d found |
|------------|------------------------|---------------------------------------|------------------------------------|-----------------------|
| calc-HAp | - | 0 | 0 | 0 |
| calc-FHAp1 | 0.881 | 10-20 | 19 | 18 |
| calc-FHAp2 | 0.528 | 20-25 | 31 | 26 |
| calc-FHAp3 | 0.096 | 50-75 | 50 | 58 |
| calc-FHAp4 | 0.035 | 50-75 | 76 | 72 |
| calc-FHAp5 | 0.034 | 50-75 | 76 | 73 |

^a ratio of high frequency (HF) and low frequency (LF) absorption of the OH stretching, ^b %fluorine predicted from the ratio of HF and LF absorption by comparing to data in reference 5, ^c %fluorine predicted from the spectral signature of the OH libration bands by comparing to data in reference 4, ^d %fluorine determined by fluoride selective electrode

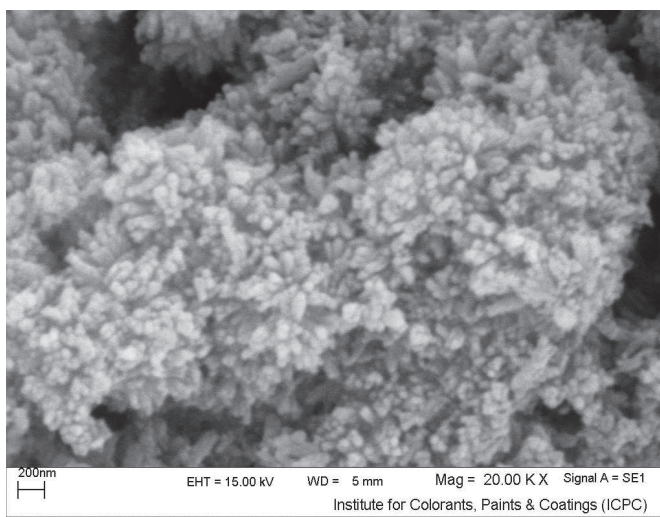
با توجه به شکل (۵) نسبت جذب باند 747cm^{-1} به 637cm^{-1} به $0.32/0.03$ بود که در مقایسه با جدول (۱) به نظر می‌رسد میزان فلوراید موجود در نمونه ۷۶٪ می‌باشد.

۳-۳-بررسی ریز ساختار پودر به کمک میکروسکوپ الکترونی روبشی (SEM)
شکل (۷) ریز ساختار پودر فلورورآپاتیت سنتز شده در دمای اتاق را نشان می‌دهد. به نظر می‌رسد شکل ذرات به صورت کروی است و ابعاد ذرات ریز و کمتر از ۱۰۰ نانومتر می‌باشد. اندازه‌ی کریستالیت فلورورآپاتیت از [۰۰۲] توسط رابطه‌ی (۱) محاسبه شد. اندازه‌ی بلور برای پودر سنتز شده برابر با $4/7$ نانومتر می‌باشد.



شکل ۷- تصویر SEM فلورورآپاتیت سنتز شده در دمای اتاق
شکل ۸- تصویر SEM فلورورآپاتیت کلسینه شده در دمای 80°C به مدت ۳ ساعت با بزرگنمایی $10000\times$

البته این روش با خطای زیادی همراه است زیرا استفاده از رابطه‌ی شرر باید به همراه انتخاب ماده‌ی استاندارد انجام گیرد.^[۲۲] بنابراین در این پژوهش فقط به منظور مقایسه اندازه ذرات به صورت نسبی از این روش استفاده شد. شکل (۸) ریز ساختار پودر فلورآپاتیت کلسینه شده در دمای 800°C را در نشان می‌دهد. تصاویر SEM نشان می‌دهد که پودر به دست آمده شامل آگلومره می‌باشد. همانطور که انتظار می‌رود با انجام کلسیناسیون ذرات به صورت آگلومره در می‌آیند که رشد بلور و اتصال ذرات در فلورآپاتیت کلسینه شده مشهود می‌باشد. اندازه‌ی کریستالیت فلورآپاتیت کلسینه از [۰۰۲] نویس طبقه (۱) محاسبه شد. اندازه‌ی بلور برای پودر کلسینه شده برابر با $3/40$ نانومتر می‌باشد که آگلومره شدن ذرات را نشان می‌دهد.



شکل ۹- تصویر SEM فلورآپاتیت سنتز شده به روش هیدروترمال با فشار $15/\text{abar}$ به مدت ۸ ساعت^[۱۳]

شکل (۹)، تصویر SEM فلورآپاتیت سنتز شده با مواد اولیه ارتوفسفات دی آمونیوم و NaF و $\text{Ca}(\text{OH})_2$ در فشار $15/\text{abar}$ به مدت ۸ ساعت، دمای خشک کردن 60°C درجه سانتی‌گراد، $\text{pH}=7$ و $\text{Ca}/\text{P}=1/67$ را نشان می‌دهد^[۱۳]. شکل (۹) حاکی از تا حدودی خوش‌های بودن ذرات است. همان طور که مشاهده می‌شود، با مواد اولیه یکسان و تغییر روش سنتز، مورفلوژی متفاوتی برای فلورآپاتیت به دست آمد.

۴- نتیجه گیری

- ۱- مورفلوژی پودر فلورآپاتیت سنتز شده به روش شیمیایی کروی واندازه ذرات آن در حد نانو بود.
- ۲- پس از کلسینه کردن پودر فلورآپاتیت سنتز شده در دمای 800°C به مدت ۳ ساعت، فقط فاز بلورین فلورآپاتیت تک فاز متبلور شد.
- ۳- همانند آنچه منابع گزارش کرده‌اند با کلسینه کردن پودر فلورآپاتیت در دمای 800°C به مدت ۳ ساعت، میزان جایگزینی فلور در ساختار افزایش می‌باید.
- ۴- مقایسه مورفلوژی پودر فلورآپاتیت کلسینه شده در این پژوهش با پودری که از روش هیدروترمال با مواد اولیه یکسان به دست آمده است، حاکی از ریزتر بودن و تا حدودی خوش‌های بودن ذرات به دست آمده از روش هیدروترمال نسبت به ذرات کروی روش شیمیایی می‌باشد.

مراجع

۱. ارغوان فرزادی، دکتر مهران صولتی هشجین، "سنتز و مشخصه یابی نانو پودرهای کلسیم فسفات دو فازی به کمک مایکروویو"، پایان‌نامه کارشناسی ارشد مهندسی پزشکی (بیومتریال) دانشگاه صنعتی امیرکبیر، ۱۳۸۷.





2. T. V. Thamaraiselvi and S. Rajeswari, "Biological Evaluation of Bioceramic Materials - A Review", Trends Biomater. Artif. Organs, Vol 18 (1), (2004), pp 9-17.
۳. مهران صولتی هشجین، "تأثیر روش سنتز پودر بر ریزساختار و خواص هیدروکسی آپاتیت"، پایان نامه دکتری مهندسی مواد (سرامیک)، پژوهشگاه مواد و انرژی، ۱۳۷۶
4. H. Nishikawa, "Thermal behavior of hydroxyapatite in structural and spectrophotometric characteristics", Materials Letters 50 (2001) 364-370.
5. Hulbert and Klein. "Manual of Mineralogy, 19th Edition" , (1997).
6. J. M Hughes, M. Cameron and K. D. Crowley, "Crystal Structures of Natural Terney Apatite", Amer. Mineral (1990), 75,295-304.
7. H. Chen, K. Sun, Z. Tang, R. V. Law, J. F. Mansfield, A. Czajka-Jakubowska, and B. H. Clarkson," Synthesis of Fluorapatite Nanorods and Nanowires by Direct Precipitation from Solution", Crystal Grow & Design, 6(6), 1504-1508, 2006.
8. Llew Rintoul, Edeline Wentrup-Byrne, Shuko Suzuki, Lisbeth Grondahl, "FT-IR spectroscopy of fluoro-substituted hydroxyapatite:strengths and limitations", J Mater Med (2007) 18:1701-1709.
9. F. Ben Ayed, J. Bouaziz, K. Bouzouita, "Pressureless sintering of fluorapatite under oxygen atmosphere", Journal of the European Ceramic Society 20 (2000) 1069-1076.
10. D. Siva Rama Krishna, C. K. Chaitanya, S. K. Seshadari and T. S. Sampath Kumar, "Fluorinated Hydroxyapatite by Hydrolysis under Microwave Irradiation", Trends Biomater. Artif. Organs. Vol. 16 (1) pp 15-17 (2002).
11. M. Okazaki, Y. Miake, H. Tohda, T. Yanagisawa, J. Takahashi, "Fluoridated apatite synthesized using a multi-step fluoride supply system", Biomaterials 20 (1999) 1303-1307.
۱۲. احسان محمدی زهرانی، محمد حسین فتحی، "تأثیر زمان پیر سازی ژل بر خلوص و ترکیب فازی نانوپودر در فلورآپاتیت تولید شده به روش سل- ژل" ، دوازدهمین کنگره سالانه انجمن مهندسین متالورژی ایران.
۱۳. لیلا منتظری، جعفر جوادپور، محمد علی شکرگزار، بررسی تأثیر غلظت فلوراید بر سنتز و خصوصیات نانو پودر فلور آپاتیت تهیه شده به روش هیدروترمال، پروژه در حال انجام کارشناسی ارشد، دانشگاه علم و صنعت ایران، ۱۳۸۸.
14. L. M. Rodriguez-Lorenzo, J. N. Hart, K. A. Gross, "Influence of fluorine in the synthesis of apatites. Synthesis of solid solutions of hydroxy –fluorapatite", Biomaterials 24 (2003) 3777-3785.
15. L. J. JHA, S. M. BEST, J. C. KNOWLES, I. REHMAN, J. D. SANTOS, W. BONFIELD, "Preparation and characterization of fluoride-substituted apatites", JOURNAL OF MATERIALS SCIENCE: MATERIALS IN MEDICINE 8 (1997) 185-191.
16. H. Nishikawa, "Thermal behavior of hydroxyapatite in structural and spectrophotometric characteristics", Materials Letters 50 (2001) 364-370.
17. F. Freund, R. M. Knobel, "Distribution of Fluorine in Hydroxyapatite studied by Infrared Spectroscopy", J.C.S. Dalton.
18. I. Nikcevic, V. Jokanovic, M. Mitric, Z. Nedic, D. Makovec, and D. Uskokovic, "Mechanochemical synthesis of nanostructured fluorapatite/fluorhydroxyapatite and carbonated fluorapatite/fluorhydroxyapatite", Journal of Solid State Chemistry 177 (2004) 2565-2574.
19. R. A. YOUNG, W. Van der LUGT and J. C. ELLIOTT, Nature,223 (1969) 729.
20. F. FREUND and R. M. KNOBEL, J. Chem. Soc. Dalton Trans.(1977) 1136.
21. A. BAUMER, M. GANTEAUME and W. E. KLEE, Bull. Mineral. 108 (1985) 145.
۲۲. دکتر فرهاد گلستانی فرد، دکتر محمد علی بهرهور، دکتر اسماعیل صلاحی، روش‌های شناسایی و آنالیز مواد، دانشگاه علم و صنعت ایران، تهران، ۱۳۸۳.